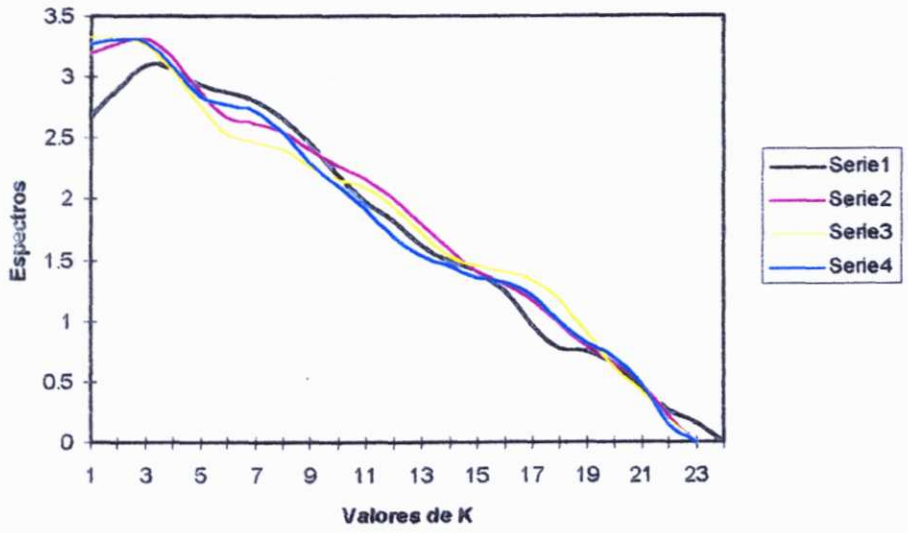

Fig. 1.5.9: Gráficos de la función espectral (cm h^{-1}) de la componente no periódica del nivel del mar en el dominio de las frecuencias medias de la temporada ciclónica en las estaciones de Manzanillo (1993) - serie 1, Manzanillo (1994) - serie 2, Santa Cruz del Sur (1994) - serie 3, Santa Cruz del Sur (1995) - serie 4, calculada con un corrimiento máximo de la función de correlación igual a 360.

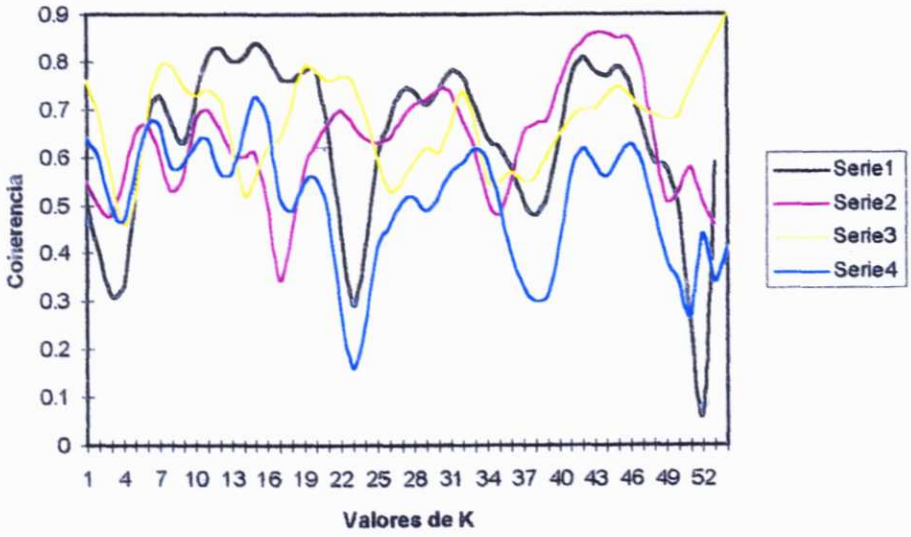

Fig. 1.5.10: Gráficos de la coherencia de la componente no periódica del nivel del mar en el dominio de las frecuencias medias entre las estaciones de Cabo Cruz y Manzanillo (1993) - serie 1, Cabo Cruz y Casilda (1993) - serie 2, Manzanillo y Santa Cruz del Sur (1994) - serie 3, Manzanillo y Casilda (1994) - serie 4, calculada con un corrimiento máximo de la función de correlación igual a 800.

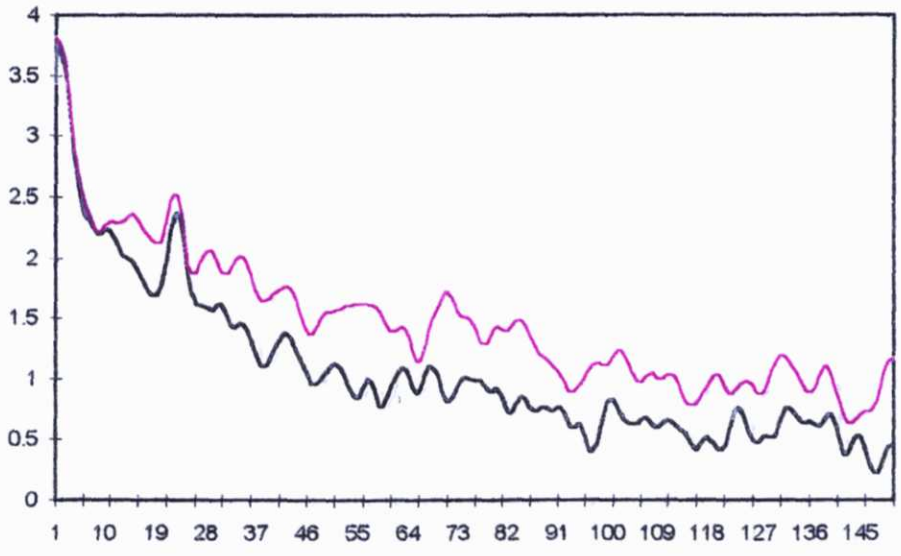

Fig. 1.5.11: Gráficos de la función espectral (cm h^{-1}) de los valores medios diarios del nivel del mar en las estaciones de Cabo san Antonio (1984 a 1987) - azul y Siboney (1984 a 1987) - violeta, calculada con un corrimiento máximo de la función de correlación igual a 150.

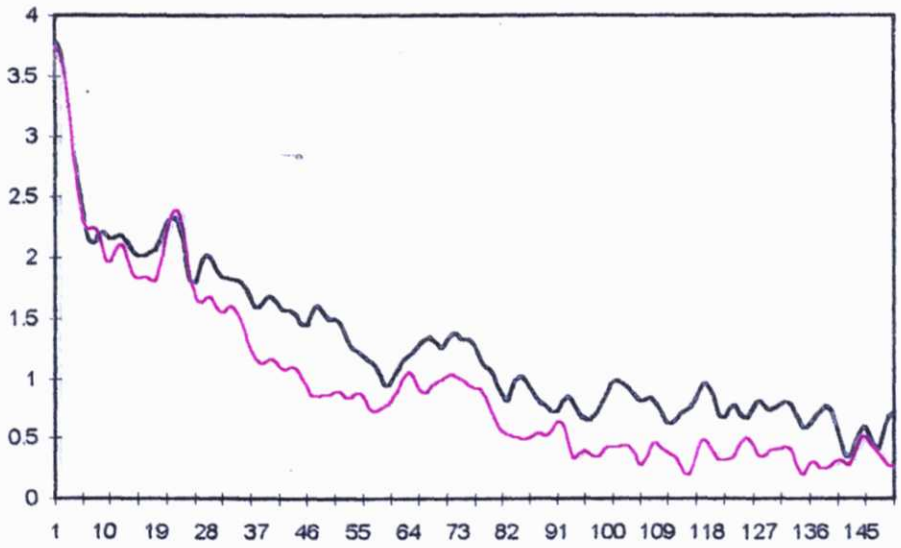

Fig. 1.5.12: Gráficos de la función espectral (cm h^{-1}) de los valores medios diarios del nivel del mar en las estaciones de La Isabela (1984 a 1987) - azul y Gibara (1984 a 1987) - violeta, calculada con un corrimiento máximo de la función de correlación igual a 150.

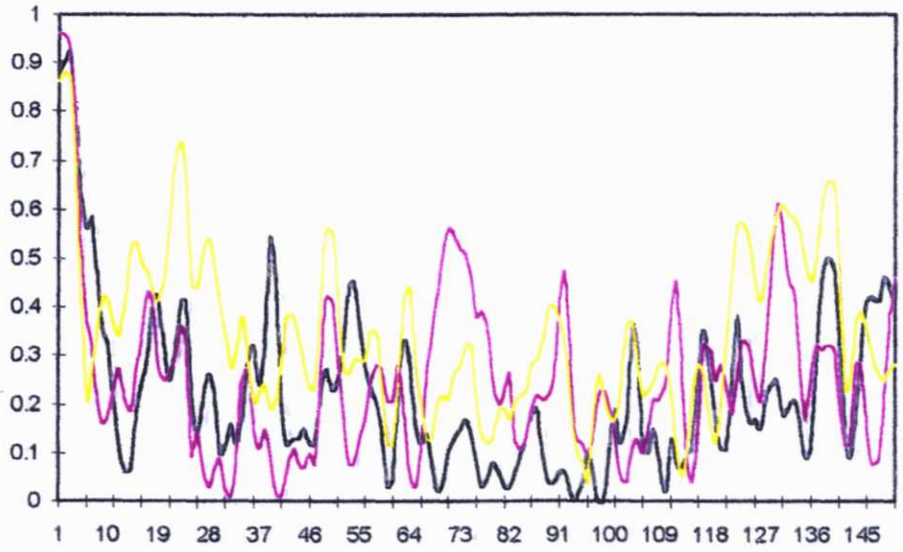

Fig. 1.5.13: Gráficos de la coherencia entre los valores medios diarios del nivel del mar durante los años 1984 y 1987 de las estaciones de Siboney y La Isabela (1984 a 1987) - azul, Siboney y Gibara - violeta y Siboney y Cabo San Antonio - amarillo, calculada con un corrimiento máximo de la función de correlación igual a 150.

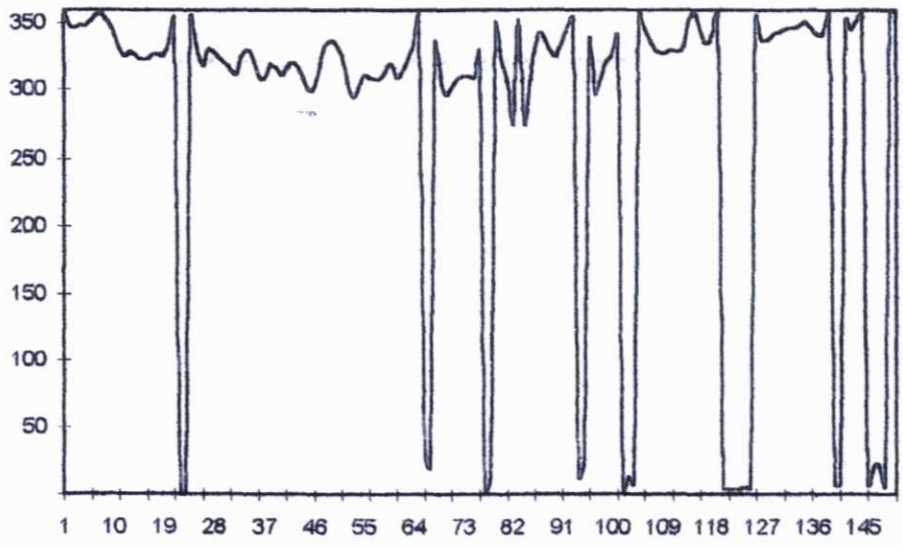

Fig. 1.5.14: Gráfico del corrimiento de fase, en grados, entre los valores medios diarios del nivel del mar durante los años 1984 y 1987 de las estaciones de Siboney y Cabo San Antonio, calculado con un corrimiento máximo de la función de correlación igual a 150.

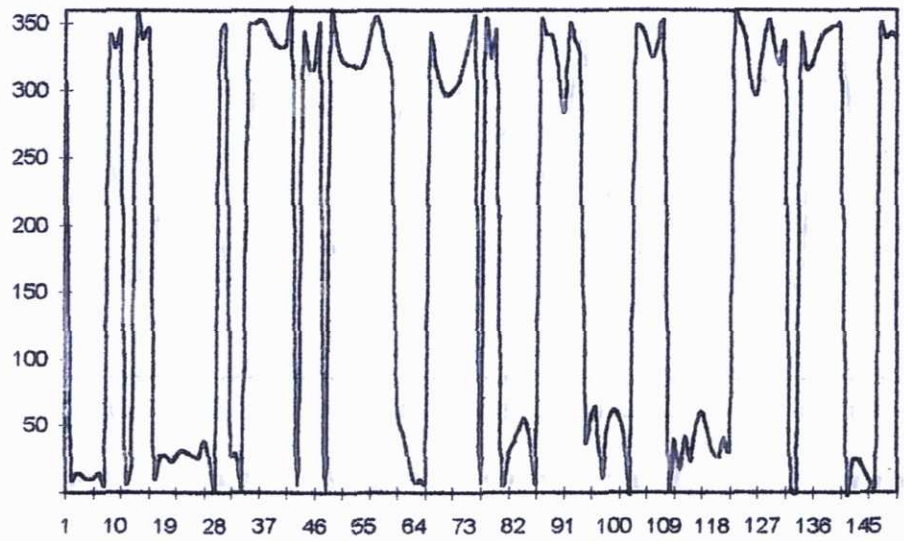

Fig. 1.5.15: Gráfico del corrimiento de fase, en grados, entre los valores medios diarios del nivel del mar durante los años 1984 y 1987 de las estaciones de Siboney y La Isabela, calculado con un corrimiento máximo de la función de correlación igual a 150.

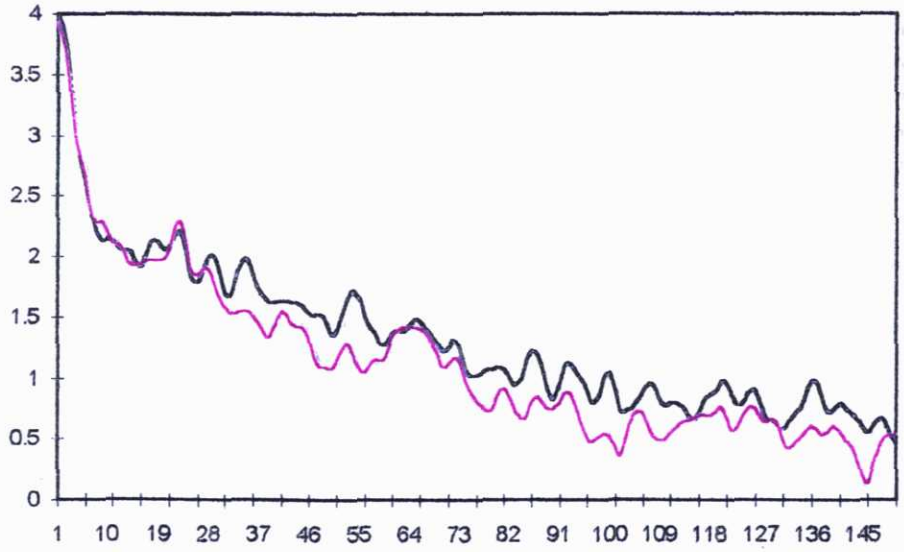

Fig. 1.5.16: Gráfico de la función espectral (cm h^{-1}), de los valores medios diarios del nivel del mar durante los años 1990 y 1993 de las estaciones de Siboney y Casilda, calculada con un corrimiento máximo de la función de correlación igual a 150.

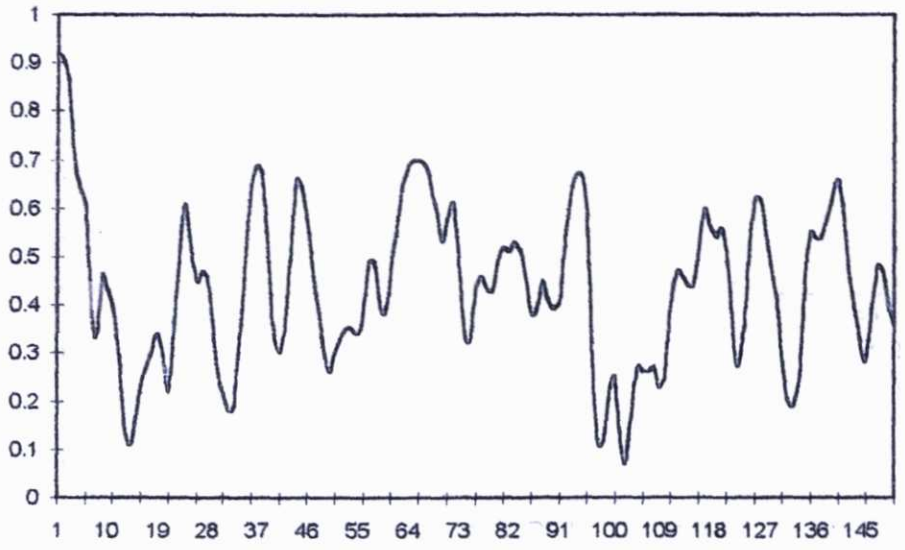

Figura 1.5.17: Gráfico de la coherencia entre los valores medios diarios del nivel del mar durante los años 1990 y 1993 de las estaciones de Siboney y Casilda, calculada con un corrimiento máximo de la función de correlación igual a 150

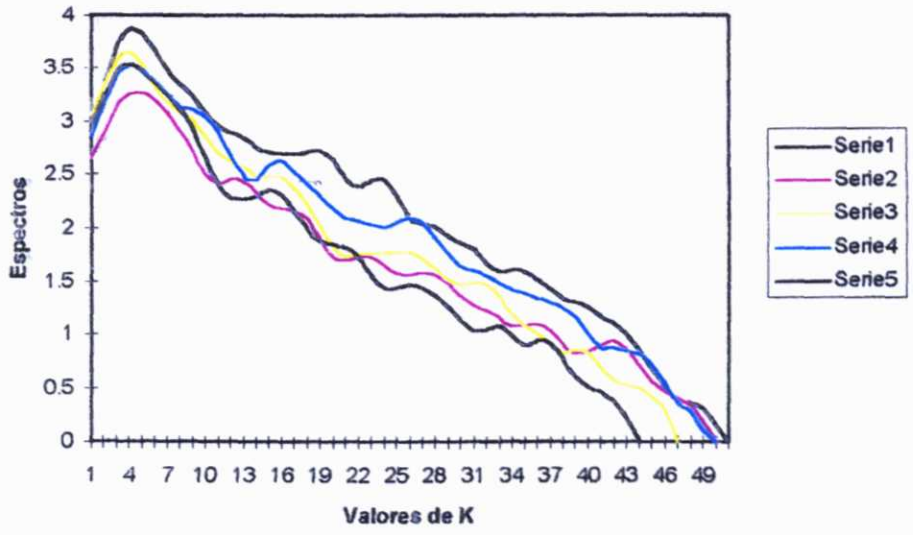

Figura 1.5.18: Gráfico de la función espectral (cm h^{-1}) de la componente no periódica del nivel del mar en el dominio de las frecuencias medias durante 1985 en las estaciones de Siboney - serie 1, Cabo san Antonio - serie 2, Casilda - serie 3, La Isabela - serie 4, Gibara - serie 5, calculada con un corrimiento máximo de la función de correlación igual a 800